

Karteringen av bladmrådet Kalix NV utfördes huvudsakligen under åren 1971-1974 under ledning av Otto Brozen och Stig Bjurstedt. Extrageologer vid detta arbete var Sven Åaro, Jan Byman, Jan Ehrenborg, Lars-Olof Forsberg, Torbjörn Hugo-Persson, Kurt-Ake Magnusson, Veiko Niinikorpi och Peter Rydqvist. Revision och sammanställning av det insamlade materialen utfördes 1993 av Anders Wikström som också ansvarar för kartans slutliga utformning.

Referens till kartan: Wikström, A., 1995: Berggrundskartan Kalix NV, SGU Ai 79.

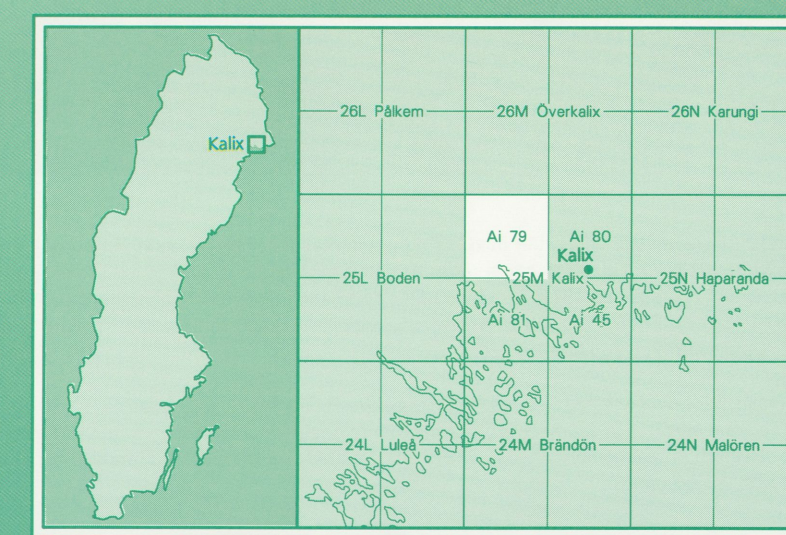
SGU serie Ai Nr 79
BERGGRUNDSKARTAN
25M KALIX NV

Berggrundskartan

25M Kalix NV

Bedrock map

Skala 1:50 000



SGU
Sveriges Geologiska Undersökning

1995

BESKRIVNING TILL BERGGRUNDSKARTAN KALIX NV
Anders Wikström

ALLMÄN ÖVERSIKT

De äldsta bergerna inom kartområdet Kalix NV utgörs av koreka kvartiter som helt dominerar de östra delarna. Inget underlag finns till dessa sediment har här påträffats. Något yngre är de sferofenitiska bergarter som framförallt finns i de västliga delarna och som huvudsakligen är bildade ur slamsediment. Dessa bågge sedimentgrupper har intruderats av olika granitgenerationer där framförallt den grå Härnösandsvitnen utgörar de yngre graniter med varierande jusa, röda eller gråvita nyanser uppträder både som mörk eller mörkare massiv och som uppländade med äldre bergarter.

YTBERGARTER

Söder om Kalmarsjön finns en stor del av bladmrådet östra delar utgörs av orona, gråvita kvartiter (Fig. 1A). De innehåller vanligtvis små mängder av en kromhålig glimmer, fuchsit, vilket medför att bergarten för det mest oskål har ett färgstrik inuti i grön. De är starkt omklassificerade vilket medför att det är svårt att hitta primärstrukturer som t.ex. strömskiktning och av detta dras slutsatsen om den ursprungliga lagerfoljelöns orientering. Äldersmässigt räknas de till de s.k. jättekvarterna med en ålder runt 2 200 miljoner år. Inom kartområdet finns emellertid inga belägg för denna höga ålder. Någon enklhet i ålder kan dock ses i de sedan nedräckta delarna av Råneabergen som här har heller inte nämnats. Det är framför allt den främsta delen som bestämminger av relativ ålder kan göras. Yngre sedimentbergarter har kunnat utlösas och som kartas indelning bryper på. I hällkolla förekommer allmänt tunna skikt av glimmer, delvis bildade ur utbladade rester av basiska skikt. Tämligen röra kvartitska bankar kan förekomma i mäktigheter på några tiotal meter. Tunna skambankar domineras av mineralen diopside och åtlast är också allmänna iksom inlageringar av basiska lavo och tuff. I varierande omfattning är kvartsiterna migmatitiserade och uppländade med granit och pegmatit. Lokalt förekommer sträck av glimmerrika bergarter inlagrade i kvartiter som kan vara svårt att särskilja från hällkollagens sediment.

Om kännetecknas dessa grupper på alla de olika former av utvärpnings- och omvandlingar som kännetecknar dessa grupper. De amfibolitgrupperna har hittills hår (flera kvadratkilometer) har medfört att detta område har varit intressant som objekt för de föndersökningar som utförts i Sveriges berggrund för att hitta en lämplig plats för slutföring av urbant kärnbränsle (SKB 1983). Här har utförts noga präglade ingenjörsgeologiska utredningar och platserna för de djupa kärnorhålen finns redovisade på kartan.



Fig. 1A. Fuchsitekvartit med grönstensskikt, vilka delvis har tektoniskt utveckrats till tunna glimmerskikt. Fig. 1B. Folded quartzite with gradually changing contents of biotite and hornblende. Fig. 1C. Intrusive breccia med brottstycken av sedimentgnejs och grönsten. Lokalblock, Kamlekgölen. Fig. 1D. Konform veckad gänga av aplitegranit i skiktad, tuffisk suprakaltnepj. Lokalblock, Kamlekgölen. (Det mynt som förekommer på några av bilderna är en svensk enkrona med diameter 25 mm.)

Fig. 1A. Fuchsitekvartit med grönstensskikt, vilka delvis har tektoniskt utveckrats till tunna glimmerskikt. Fig. 1B. Folded quartzite with gradually changing contents of biotite and hornblende. Fig. 1C. Intrusive breccia med brottstycken av sedimentgnejs och grönsten. Lokalblock, Kamlekgölen. Fig. 1D. Konform veckad gänga av aplitegranit i skiktad, tuffisk suprakaltnepj. Lokalblock, Kamlekgölen. (Det mynt som förekommer på några av bilderna är en svensk enkrona med diameter 25 mm.)

Magnitgruppen. De sedimentbergarter som förekommer huvudsakligen i kartområdet västra delen har räknats till denna grupp som enligt ett regionalt utvecklat lagförföljelseschema ska delas upp i ovan beskrivna kvartiter. Bergarterna utgörs av gamla slamsediment med omväxlande lejiga och möjiga skikt. I begränsade områden är det dock svårt att distingueras från de äldre amfibolitbergen med andalusit och staurolit som typiska indexmineral (Fig. 2A). Kartområdets nordvästliga delar domineras av sedimentbergarter med en vanligtvis lått ädernesomvandling och condensat förekommer här allmänt. I en smal zon mellan Morjärv (9c) i norr och Björneröget (7c) i söder, finns de sediment i dena gruppen som drabbats av den starkaste omvandlingen. Skiktens med lerigt ursprung har här bitvis lösts upp till följd av migmatitiseringsprocessen medan lokalt kan finnas rester av mer sandiga lejer (Fig. 2B och C). I detta område förekommer granat i fiskom skambankar allmänt.

I vissa områden är sedimentbergarterna genomvåda av lagergångar och småmassiv av granodioriter som tillhör Härnösandsvitnen. Dessa områden har endast schematiskt kunnat återges i kartbilden och i vissa av dem kan valet av bottnäring diskuteras.

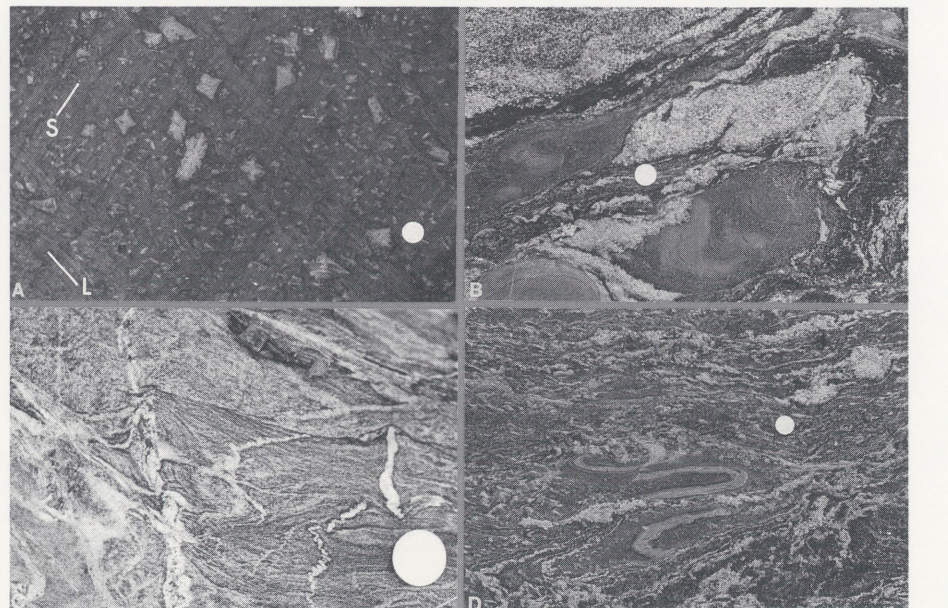


Fig. 2A. Andalusite-staurolite-glimmerskifffers med skiffryggetstora (S) i vinkel till lagringsytorna (L). Sören (5d), 732610/181515. □ Fig. 2B. Avslinta rester av gamla lagringsytor i sandiga led i sedimentärnejs. Oppmyran (7c), 733710/181325. □ Fig. 2C. Migmatitstruktur i sedimentärnejs. Breddräket (9b), 734810/180770. □ Fig. 2D. Eristaka bevarade, isoklinalveckade sandiga led i pelistisk ädernejs. Oppmyran (7c), 733710/181325.

Fig. 2A. Andalusite-staurolite schist with discordance between bedding (L) and foliation (S). □ Fig. 2B. Displaced bedding surfaces in sandy layers in a migmatite gneiss of sedimentary origin. □ Fig. 2C. Migmatite structure in sedimentary gneiss. □ Fig. 2D. Isolated, isoclinally folded sandy layers in pelitic, garnet rich, veined gneiss.

TEKTONIK

Två strukturfragt dominar i kartområdet. Det ena utgörs av de omvälvande strukturen som förekommer i de västra delarna med väsentligen nordväst-sydvästliga axelplan och i de östra delarna med mer ost-västliga axelplan. Dessa strukturer är resultatet av äldre, regionala deformationshändelser. Det andra utgörs av den Baltisk-Bothniska skjuzzonen (Berthelsen & Marker 1986), här förkortat till den Bothniska skjuzzonen eller Pajala skjuzzonen (Käki m.fl. 1993), som inom kartområdet utgörs av den mellan ca 10 och 15 km från zonen. Den norra delen av St. Lapträsket vilken domineras av strukturer orienterade i en nord-sydlig riktning har dock en annan skjuzzonen som markerats i kartan. Se Fig. 2B till därrna med en deformations- och metamorfosgrad som mest påminner om den som man finner i norra skjuzzonen. Enligt Berthelsen & Marker (1986) skulle utvecklingen i denna zon bestå av en äldre fas med dextrala (medurs) skjuzzoner och en yngre med sinistrala (moturs). Även om indikationer på sinistrala rörelser helt dominrar både vid hållöbservationer och vid tolkningen av regionala, flygmagnetiska kartor, förekommer lokalt att även dextrala rörelsekomplicer kan observeras på hållarna enligt Fig. 5A.

Det har varit svårt att få en uppfattning om rörelsekörtningarna i tre dimensioner. Observationer av interner i hållöbservationer i Balticiska gångar på Blästerberg på det angränsande bladet Kalix SV (Wikström m.fl. 1994, under arbete), på en rörelseindikator komponent i rörelsemönstret. En åldersdatering av en sammansörande sur granit från detta berg och vars intrusion genetiskt har tolkats som sammankopplade med de tektoniska krafterna, har givit en ålder på 1881±8 Ma. Detta ger en uppfattning om i vilken zon den nuvarande zon har varit aktiv.

Förut från hållöbservationer har tolkningen av flygmagnetiska kartor i olika skalor spelat en stor roll både för konstruktionen av skjuzzones utbredning och för kartläggning som helhet. En stor mängd av bergartsprovrar från de fyra Kalixbladen har mätts på densitet och magnetisk susceptibilitet. Både pröver och resultat finns tillgängliga på SGU.

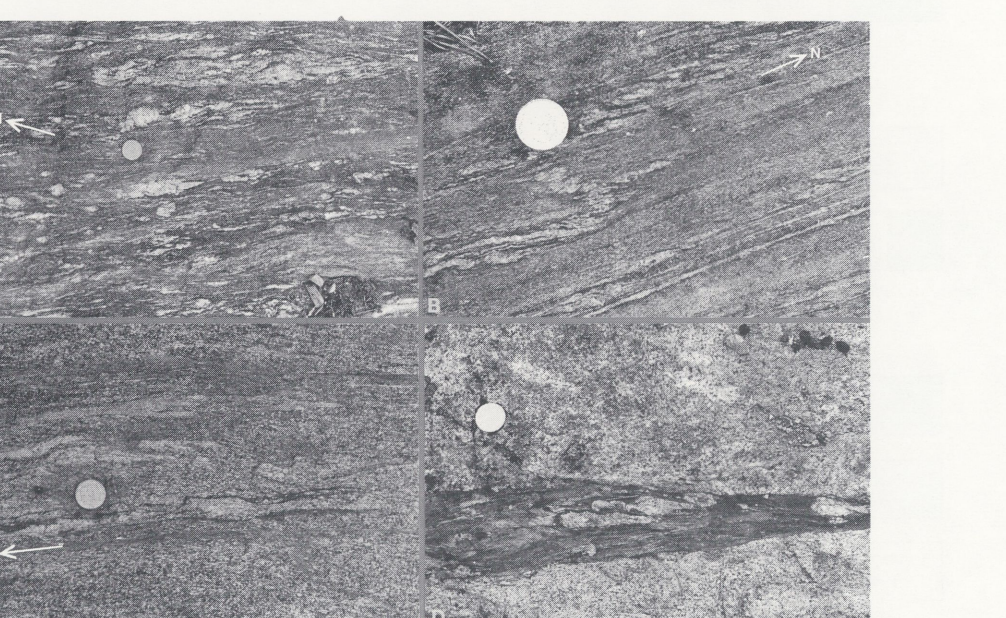


Fig. 5A. Dextral (medurs) skjuvad sedimentgnejs. Oppmyran (7c), 733710/181325. □ Fig. 5B. Stark skjuvad sedimentgnejs. Almgården (9b), 734410/180905. □ Fig. 5C. Sinistral (moturs) deformera Haparandagranit. Norr om Stormyran (7c), 733645/181390. □ Fig. 5D. Kraftigt deformera grön stensång i Haparandagranit. Möjtässköljen (9a), 734740/180380.

Fig. 5A. Sedimentary gneiss with structures indicating a dextral component of shear. □ Fig. 5B. Strongly sheared sedimentary gneiss. □ Fig. 5C. Sinistral shear structures in Haparanda granite. □ Fig. 5D. Internal, incompetent deformation structures within a mafic dike in a Haparanda granite.

Haparandavisen: Gabrofältskurkoden som tillhör den sydligaste delen av den svenska östra gabbrofältet. Gabbron vid Vink (5a/5a) är överhuvudtaget inte blottad utan kartlägger där har kontraster med utgångspunkt från blockobservationer, magnetkartor och gravimeterkarta. Åven de övriga fältkorterna, inklusive den som är betecknad som ultrabasit väster om Venikel (9a), är markerade huvudsakligen på grundval av blockobservationer och geofysiska data. Lokalt är dessa basiska bergarter kraftigt deformerade vilket framgår av Fig. 3A. Blockobservationer av magmablandningsstrukturer med nedanstående beskrivningar och tonaler är också anledningen till att dessa gabbroförekomster har räknats till Haparandavisen.

Den västra delen av bladområdet utgörs huvudsakligen av grå, medekorriga, massiforma till yngre fältgängade granit och tonaler. De sammansatta mylften under namnet "Haparandavisen" där granitnamnet slårna i slända i betecknar. Mer deformerade varianter hittas nära bergkontakter eller i relativt snävt avgränsade deformationszoner. Dessa bergarter är vanligen färgfria på kvarts och plagioklas är den dominerande fältspaten. Både hornblände och biotit förekommer som mörka mineral. I dessa granitiska bergarter hittas ställvis amfibolitiska gångar vilka i allmänhet är tydligt mer färgskifferade än den omgivande graniten (Fig. 3D, 5D) betingat att de varit mer mjuka (intervall) vid dess utveckling. Sprickor och fältspatfält är vanliga i de yngre graniterna och förekommer i den östra delen. Den östra delen kännetecknas av mycket starkt migmatiterade, relativt starkt förgängna graniter. Mer eller mindre upplöst partier av dessa ligger ofta helt omgiven av yngre granit (Fig. 3C, 4A) kan vara den dominerande bergarten i häll. Ställvis finns man också mer distinkt överskärande kontaktar (Fig. 4B).



Fig. 3A. Kraftigt stämplig, hornbländepräglad gabbro. Lokalblock. Djupjärvet (9a), 734710/180025. □ Fig. 3B. Olika form och sammansättning på grönstenenkärr i Haparandagranit. Lokalblock. Djupjärvet (9c), 733640/181385. □ Fig. 3C. Rester av förgnejsad Haparandagranit i migmatitgranit. Hattberget (9c), 734850/181490. □ Fig. 3D. Magmaphybrid (vid myntet) i Haparandagranit, genomsatt av heterogen grönstengång (i bildens nedre del) vilket blivit starkt inkOMPETENT föRSKIFFRAT. Möjtässköljen (9a), 734740/180370.

Fig. 3A. Strongly lined gabbro with hornblende phenocrysts. □ Fig. 3B. Variable shapes and compositions of mafic enclaves in Haparanda granitoid. □ Fig. 3C. Deformed Haparanda granitoid penetrated by migmatitic granite. □ Fig. 3D. Magmatic hybrid (at the coin), penetrated by mafic dike (lower part of the picture) which has been incompletely deformed.

Migmatitgranit. Inom de östra delarna av området, har yngre graniter t ex. Ödmän (1957) haft en betydlig större utbreddning än vad markeras på denna karta. Större delen av området som på kartan har överbetecknats är sedan karta. Större delen med mikrokorniga, ljusgrå till skära graniter som är färgfria på mörka mineral. – ställvis upp till 70-80% av de blottade hällytorna. Tekniken med att i kartan i stället framhäva urprungsbegärtskarter, medför att de olika nord-sydliga, förkastningsgränslade bergartsträckor tydligare. Som framgår t.ex. av Fig. 2D och 3C, är ådergnejsområdena ställvis betydande, framförallt i de östra delarna. Olika områden med skild metamorfos separeras i allmänhet av olika linéärstrukturerna vilka i flertalet fall torde utgöras av förkastningar. En del av de yngre mikrokornindominerade och migmatitassocierade graniterna är indragna i det regionala deformationsmönstret som framgår av Fig. 10.

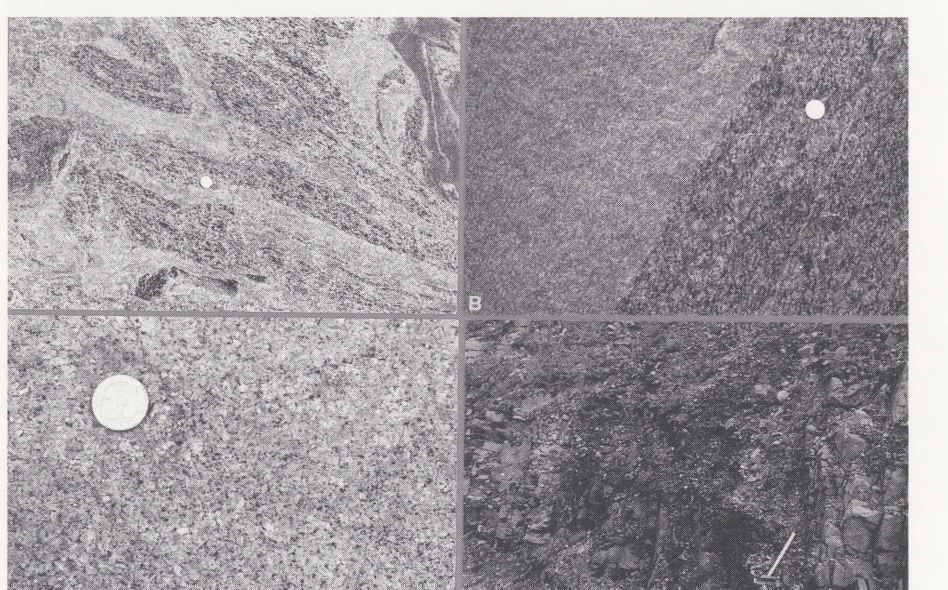


Fig. 4A. Åderförgnejsad Haparandagranit. Lokalblock. Kamungeköljen. □ Fig. 4B. Gnejpta Haparanda-granit till höger, genomsatt med rak kontakt av yngre, jämkromig granit. Även den senare graniten är svagt deformera. Storberget (7e), 733950/182025. □ Fig. 4C. Röd, medekorrig, yngre granit. Lokalt förekommer en viss biotittereglering. Graniten uppvisar en fortför radioaktiv strålning jämfört med sin omgivning. Revleberget (8c), 734310/181444. □ Fig. 4D. Ultrabasisk lamprofyrgång, relativt kraftigt uppstrukken. Jämvägsräkning sydost om Falkberget (6e), 733110/182205.

Fig. 4A. Migmatitic Haparanda granite. □ Fig. 4B. Foliated Haparanda granitoid (right) intruded by a younger microcline granite (left) which also has a faint, conformable foliation. □ Fig. 4C. Red, medium-grained, younger granite. The gamma-ray radiation for this type of granite is increased compared with that in the surrounding bedrock. □ Fig. 4D. Ultrabasic lamprophyre dyke.

Yngre granit i allmänhet. Ett större område med mer sammanslutande och homogen, mikrokornindominerad, yngre granit förekommer på Revleberget (8c) och vidare mot öster och söder. Dessa gränslinjer kanas en gradvis övergång i migmatitgraniten. Den radiometriska strålningen är förhöjd i den norra delen av denna granitkropp.

Ultrabasiska lamprofyrgångar. Dessa gångar har sin största utbreddning på angränsande bladen i sydost och söder och har under senare år rönt att vist intresse i samband med diamantprospekting. De har genom åren beskrivits under diverse namn (se litteraturlistan). Inom kartområdet har de endast påträffats (Fig. 4D) längs jämvägen vid och söder om Falkberget (6e).

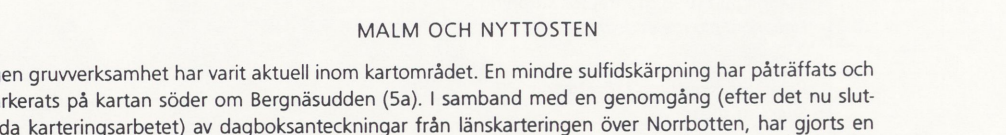


Fig. 5B. Stark skjuvad sedimentgnejs. Almgården (9b), 734410/180905. □ Fig. 5C. Sinistral (moturs) deformera Haparandagranit. Norr om Stormyran (7c), 733645/181390. □ Fig. 5D. Kraftigt deformera grön stensång i Haparandagranit. Möjtässköljen (9a), 734740/180380.

Fig. 5B. Strongly sheared sedimentary gneiss. □ Fig. 5C. Sinistral shear structures in Haparanda granite. □ Fig. 5D. Internal, incompetent deformation structures within a mafic dike in a Haparanda granite.

MALM OCH NYTTOSTEN

Ingen gruvverksamhet har varit aktuell inom kartområdet. En mindre sulfidkärring har påträffats och markerats på kartan söder om Bergsåsudden (5a). I samband med en genomgång (efter det nu slutade kartläggningsarbetet) av dagbokanteckningar från länskarteringen över Norrbotten, har gjorts en notering som kan vara värld att uppmärksamma. Det gäller en observation av en arsenik-krom-mineralisering i en mindre amfibolitkropp i en lins av suprakristalbergarter vid Hällkollen (7b) med koordinater ca 733570/180750. Denna håll observerades inte vid kartingen i början på 1970-talet då endast Haparandagranit iaktogs i området.

Även när det gäller stenindustriell verksamhet, har aktiviteten varit låg i området. Några mindre stenbrott finns upptagna i kartan vid Storberget (7e) sydost om Kamunge.

SUMMARY

The Kalix NW bedrock map-sheet can be subdivided into three areas with slightly different characters. The western part is mainly composed of the Råneå group sediments together with large masses of the Haparanda suite intrusives. The east-central part is dominated by the Bothnian shear zone with structures running mainly in north-south and eastermost part is dominated by the quartzites of the Söder om Luleå group. Some quartzites are considered to belong to the Jatulian with an age considered to be older than c. 2200 Ma. They contain small amounts of fuchsite, a green coloured chromium mica which gives the rocks a varying, greenish tint, a colour which at places also is caused by skarn minerals like diopside. Within the quartzites one can also find abundant layers of varying thickness with amphibolites, witnessing a mafic magmatism contemporaneous with the deposition of the quartz-rich sediments.

The Råneå group sediments are regionally considered to be Kaledonian and the oldest group within the Söder om Luleå group. The latter is considered to correspond to the Kaledonian age relative to the Råneå and Söder om Luleå groups. The Råneå group has been mapped within the Söder om Luleå, however. The Råneå sediments are rhythmically layered and deposited in the silf fractions of the map. The majority of these sediments are metamorphosed in middle and upper amphibolite facies and migmatitic with a common development of garnet and cordierite (Fig. 2B). In small, fault bounded areas they can be found to have been metamorphosed in lower amphibolite facies with the growth of such index minerals as andalusite and staurolite (Fig. 2A).

The Haparanda intrusives (brown and green on the map) are dominated by tonalite and granodiorite with locally abundant mafic enclaves (Fig. 3B) and mafic, incompletely deformed mafic dikes (Fig. 3D). The mafic dikes are considered to belong to the Jatulian with an age considered to be older than c. 2200 Ma. They contain small amounts of fuchsite, a green coloured chromium mica which gives the rocks a varying, greenish tint, a colour which at places also is caused by skarn minerals like diopside. Within the quartzites one can also find abundant layers of varying thickness with amphibolites, witnessing a mafic magmatism contemporaneous with the deposition of the quartz-rich sediments.

The Söder om Luleå group sediments are regionally considered to be Kaledonian and the oldest group within the Söder om Luleå group. The latter is considered to correspond to the Kaledonian age relative to the Råneå and Söder om Luleå groups. The Råneå group has been mapped within the Söder om Luleå, however. The Råneå sediments are rhythmically layered and deposited in the silf fractions of the map. The majority of these sediments are metamorphosed in middle and upper amphibolite facies and migmatitic with a common development of garnet and cordierite (Fig. 2B). In small, fault bounded areas they can be found to have been metamorphosed in lower amphibolite facies with the growth of such index minerals as andalusite and staurolite (Fig. 2A).

The Haparanda intrusives (brown and green on the map) are dominated by tonalite and granodiorite with locally abundant mafic enclaves (Fig. 3B) and mafic, incompletely deformed mafic dikes (Fig. 3D). The mafic dikes are considered to belong to the Jatulian with an age considered to be older than c. 2200 Ma. They contain small amounts of fuchsite, a green coloured chromium mica which gives the rocks a varying, greenish tint, a colour which at places also is caused by skarn minerals like diopside. Within the quartzites one can also find abundant layers of varying thickness with amphibolites, witnessing a mafic magmatism contemporaneous with the deposition of the quartz-rich sediments.

The Bothnian shear zone, the areas with abundant migmatite symbols have in previous maps over the area, for instance Ödmän (1957), been mapped as younger granites. The area is also dominated by migmatitic granites to some 60-80% but the technique to let the palaeosome in the migmatite dominate the symbol has not been used in this map. However, the Råneå sediments are rhythmically layered and deposited in the silf fractions of the map. The majority of these sediments are metamorphosed in middle and upper amphibolite facies and migmatitic with a common development of garnet and cordierite (Fig. 2B). In small, fault bounded areas they can be found to have been metamorphosed in lower amphibolite facies with the growth of such index minerals as andalusite and staurolite (Fig. 2A).

Within the Bothnian shear zone, the areas with abundant migmatite symbols have in previous maps over the area, for instance Ödmän (1957), been mapped as younger granites. The area is also dominated by migmatitic granites to some 60-80% but the technique to let the palaeosome in the migmatite dominate the symbol has not been used in this map. However, the Råneå sediments are rhythmically layered and deposited in the silf fractions of the map. The majority of these sediments are metamorphosed in middle and upper amphibolite facies and migmatitic with a common development of garnet and cordierite (Fig. 2B). In small, fault bounded areas they can be found to have been metamorphosed in lower amphibolite facies with the growth of such index minerals as andalusite and staurolite (Fig. 2A).

Within the Bothnian shear zone, the areas with abundant migmatite symbols have in previous maps over the area, for instance Ödmän (1957), been mapped as younger granites. The area is also dominated by migmatitic granites to some 60-80% but the technique to let the palaeosome in the migmatite dominate the symbol has not been used in this map. However, the Råneå sediments are rhythmically layered and deposited in the silf fractions of the map. The majority of these sediments are metamorphosed in middle and upper amphibolite facies and migmatitic with a common development of garnet and cordierite (Fig. 2B). In small, fault bounded areas they can be found to have been metamorphosed in lower amphibolite facies with the growth of such index minerals as andalusite and staurolite (Fig. 2A).

Within the Bothnian shear zone, the areas with abundant migmatite symbols have in previous maps over the area, for instance Ödmän (1957), been mapped as younger granites. The area is also dominated by migmatitic granites to some 60-80% but the technique to let the palaeosome in the migmatite dominate the symbol has not been used in this map. However, the Råneå sediments are rhythmically layered and deposited in the silf fractions of the map. The majority of these sediments are metamorphosed in middle and upper amphibolite facies and migmatitic with a common development of garnet and cordierite (Fig. 2B). In small, fault bounded areas they can be found to have been metamorphosed in lower amphibolite facies with the growth of such index minerals as andalusite and staurolite (Fig. 2A).

Within the Bothnian shear zone, the areas with abundant migmatite symbols have in previous maps over the area, for instance Ödmän (1957), been mapped as younger granites. The area is also dominated by migmatitic granites to some 60-80% but the technique to let the palaeosome in the migmatite dominate the symbol has not been used in this map. However, the Råneå sediments are rhythmically layered and deposited in the silf fractions of the map. The majority of these sediments are metamorphosed in middle and upper amphibolite facies and migmatitic with a common development of garnet and cordierite (Fig. 2B). In small, fault bounded areas they can be found to have been metamorphosed in lower amphibolite facies with the growth of such index minerals as andalusite and staurolite (Fig. 2A).

Within the Bothnian shear zone, the areas with abundant migmatite symbols have in previous maps over the area, for instance Ödmän (1957), been mapped as younger granites. The area is also dominated by migmatitic granites to some 60-80% but the technique to let the palaeosome in the migmatite dominate the symbol has not been used in this map. However, the Råneå sediments are rhythmically layered and deposited in the silf fractions of the map. The majority of these sediments are metamorphosed in middle and upper amphibolite facies and migmatitic with a common development of garnet and cordierite (Fig. 2B). In small, fault bounded areas they can be found to have been metamorphosed in lower amphibolite facies with the growth of such index minerals as andalusite and staurolite (Fig. 2A).

Within the Bothnian shear zone, the areas with abundant migmatite symbols have in previous maps over the area, for instance Ödmän (1957), been mapped as younger granites. The area is also dominated by migmatitic granites to some 60-80% but the technique to let the palaeosome in the migmatite dominate the symbol has not been used in this map. However, the Råneå sediments are rhythmically layered and deposited in the silf fractions of the map. The majority of these sediments are metamorphosed in middle and upper amphibolite facies and migmatitic with a common development of garnet and cordierite (Fig. 2B). In small, fault bounded areas they can be found to have been metamorphosed in lower amphibolite facies with the growth of such index minerals as andalusite and staurolite (Fig. 2A).

Within the Bothnian shear zone, the areas with abundant migmatite symbols have in previous maps over the area, for instance Ödmän (1957), been mapped as younger granites. The area is also dominated by migmatitic granites to some 60-80% but the technique to let the palaeosome in the migmatite dominate the symbol has not been used in this map. However, the Råneå sediments are rhythmically layered and deposited in the silf